DOI:10.13652/j.issn.1003-5788.2021.08.027

基于改进卷积神经网络的红枣缺陷识别

Research on jujube defect recognition method based on improved convolution neural network

张忠志1 薛欢庆2 范广玲3

 ZHANG Zhong-zhi¹
 XUE Huan-qing²
 FAN Guang-ling³

 (1. 吉利学院,四川 成都
 641423;2. 大庆师范学院,黑龙江 大庆
 163712;

 3. 东北石油大学,黑龙江 大庆
 163311)

(1. Geely University of China, Chengdu, Sichuan 641423, China; 2. Daqing Normal University, Daqing, Heilongjiang 163712, China; 3. Northeast Petroleum University, Daqing, Heilongjiang 163311, China)

摘要:目的:建立一种基于改进的卷积神经网络的红枣缺陷自动识别方法。方法:采用双分支卷积神经网络结构,分支1结合迁移学习策略进行预训练,分支2基于轻量级网络融合特征图提取红枣图像中的特征信息。通过对比实验验证了该方法的优越性。结果:与改进前相比,改进后的缺陷识别方法优化了卷积神经网络的结构,检测准确率进一步提高,从96.02%提高到99.50%。结论:该方法提高了网络学习速度和收敛速度,具有较好的分类识别效果。

关键词:红枣缺陷;卷积神经网络;自动识别;迁移学习策略;轻量级网络

Abstract: Objective: An automatic identification method of jujube defects based on improved convolution neural network was established. Methods: Using the dual branch convolution neural network structure, branch 1 combined with the transfer learning strategy for pre training, analysis 2 extracted the feature information from the jujube image based on the lightweight network fusion feature map. The superiority of this method was verified by comparative experiments. Results: Compared with the improvement before, the improved defect recognition method optimized the structure of the convolutional neural network, and the detection accuracy was further improved, from 96.02% to 99.50%. Conclusion: This method improved the network learning speed and convergence speed, and had good classification and recognition effect.

Keywords: jujube defect; convolutional neural network; automatic identification; transfer learning strategy; lightweight network

目前中国对红枣缺陷的检测方法大多通过人工进行 筛洗, 劳动强度大目效率低, 而且红枣的品质受分拣人员 的影响较大,难以满足中国食品安全相关标准的要求[1]。 研究人员对食品缺陷检测技术进行了研究,并取得了一定 的成果。杨森等[2]提出了一种基于轻量级卷积网络的马 铃薯外部缺陷无损检测与分类方法,当训练率为 0.000 001 时,网络模型的整体性能最好,训练精度为98.88%。与 传统方法相比,轻量级网络模型平均表现出较好的识别 效果,平均识别率为96.04%。张思雨等[3]提出了一种将 机器视觉与自适应卷积神经网络相结合的花生质量检测 方法,该法对花生常见缺陷的平均识别率为99.7%,比传 统的深度网络具有更高的收敛速度和识别精度。海潮 等[4] 提出了一种基于机械视觉检测红枣表面缺陷的方 法,其颜色空间模型使用 Blob 分析算法将红枣与背景分 离,并识别红枣上的表面缺陷,准确率在90%以上。然 而,上述食品缺陷检测方法的研究往往局限于单一缺陷, 识别准确率和效率不高,在实际应用中无法满足要求。

针对目前红枣人工缺陷识别技术的现状,研究拟提出一种用于红枣缺陷自动识别的多分类方法,通过双分支深度融合卷积神经网络(Double branch deep fustion convolutional neural network,DBDFCNN)进行缺陷识别。采用双分支卷积神经网络结构,分支 1 结合迁移学习策略进行预训练,分支 2 基于轻量级网络融合特征图提取红枣图像的特征信息。通过对比实验验证该方法的优越性。旨在为食品缺陷检测方法的研究提供一定的依据。

E-mail: Zzly310@126.com

收稿日期:2021-03-06

基金项目:黑龙江省教育科学规划"十四五"规划重点课题(编号: JJB1421006)

作者简介:张忠志,男,吉利学院讲师,硕士。

通信作者: 薛欢庆(1970一), 女, 大庆师范学院副教授, 硕士。

1 系统概述

红枣缺陷检测系统结构如图 1 所示,其工作原理:进料机构可将枣从混乱状态转变为单一进料状态,将枣有序地引入输送机的辊列中[5]。输送系统可实现红枣的自动翻转,在正向运输的同时,可以在摄像机采集范围内查看枣的各个侧面,进行全方位采集,获取红枣的全部表面信息[6]。图片处理系统经过处理后将结果传到分拣系统,分拣系统通过封嘴将不同缺陷枣移动到指定位置,利用挡板进行收集,正常红枣会自动落入输送带末端的储存箱中,实现红枣缺陷的分选。

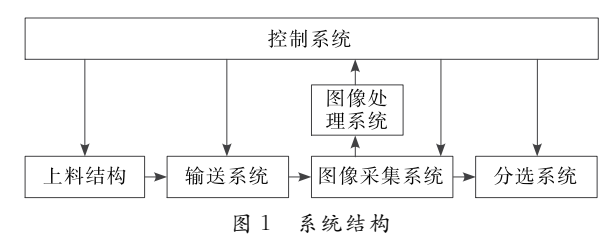


Figure 1 System structure

2 缺陷识别方法

在食品图像检测识别领域,种类繁多、特征相似、数据集匮乏等问题提高了对模型迁移能力的要求,限制了传统深度学习模型的应用[7]。因此,提出一种双分支深度融合卷积神经网络用于自动识别红枣中的缺陷。

2.1 深度融合卷积神经网络

轻量级网络 SqueezeNet 以 1×1 卷积核来代替部分 3×3 的卷积核,减少了卷积神经网络模型的训练参数,压缩了网络模型的大小^[8]。同时,通过延迟池化层来获得更大的特征图,使识别的准确率得到极大的提高。SqueezeNet 网络结构如图 2 所示,主要由卷积层、池化层、Fire 模块、激活层 ReLU 组成。其中 Fire 模块是SqueezeNet 网络的核心部分^[9]。文中红枣输入图像数据大小为 227×227,卷积层 Conv1 卷积核大小为 7×7,步长为 2,卷积层 Conv10 的卷积核大小为 1×1,步长为 1,通过 Conv10 代替全连接层进行分类^[10]。输出为红枣分类结果,分为 5 类,对应红枣的各类别。SqueezeNet 网络参数如表 1 所示。

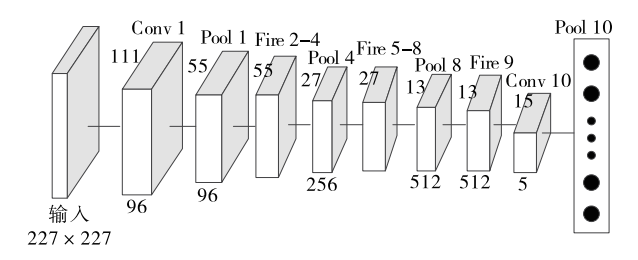


图 2 SqueezeNet 网络结构

Figure 2 SqueezeNet network structure

表 1 SqueezeNet 网络参数

Table 1 SqueezeNet network parameters

类别	卷积核大小	步长	特征图大小
Conv1	7×7	2	111×111×96
POOL1	3×3	2	$55 \times 55 \times 96$
Fire2	_	_	$55 \times 55 \times 128$
Fire3	_	_	$55 \times 55 \times 128$
Fire4	_	_	$55 \times 55 \times 256$
POOL4	3×3	2	$27\!\times\!27\!\times\!256$
Fire5	_	_	$27 \times 27 \times 256$
Fire6	_	_	$27 \times 27 \times 384$
Fire7	_	_	$27 \times 27 \times 384$
Fire8	_	_	$27 \times 27 \times 512$
POOL8	3×3	2	$13\times13\times256$
Fire9	_	_	$13\times13\times512$
Conv10	1×1	1	$13 \times 13 \times 2$
POOL10	13×13	1	$1\times1\times2$

为了进一步提高模型识别的准确率,对轻量级网络进行改进,将 Fire 模块的 3 个卷积层 Squeeze 1×1 、expand 1×1 、expand 3×3 通过 Concat 层进行融合,形成融合模块(Fusion module),并将相邻 Fusion 模块提取的特征信息进行融合,融合后的特征图作为下一层网络的输入[11]。增加了特征图在网络中的分支数量,使网络的特征信息更加丰富[12]。在卷积操作后,都会加入一个BN 批量标准操作层,并使用 PReLU 函数代替 ReLU 函数作为网络激活层。深度融合卷积神经网络的结构如图 3 所示。

使用 Fusion 模块与 Fire 模块进行替换,相邻 Fusion 模块进行特征融合,所以称为深度融合卷积神经网络^[13]。该网络的结构由 2 个卷积层、8 个 Fusion 模块、4 个池化层和 1 个 Dropout 层组成^[14]。在每次卷积操作之后,进行 BN 批量标准操作层和 PReLU 激活层,8 个 Fusion 模块两两进行融合(2 和 3、4 和 5、6 和 7、8 和 9),通过融合优化特征信息流^[15]。

每一层特征数据输入之前都要进行归一化处理,均值 0,方差 1。如果 BN 层输入有 d 维数据 $X = \{x_1, x_2, x_3, K, x_d\}$,则批量数据特征均值如式(1)所示,方差如式(2)所示[16]。

$$u_{\rm B} = \frac{1}{d} \sum_{i=1}^{d} x_i , \qquad (1)$$

$$\sigma_{\rm B}^2 = \frac{1}{d} \sum_{i=1}^d (x_i - u_{\rm B})^2 \,, \tag{2}$$

2.2 双分支深度融合卷积神经网络

在深度融合卷积神经网络的基础上,提出了一种DBDFCNN结构来解决红枣缺陷识别问题。如图4所

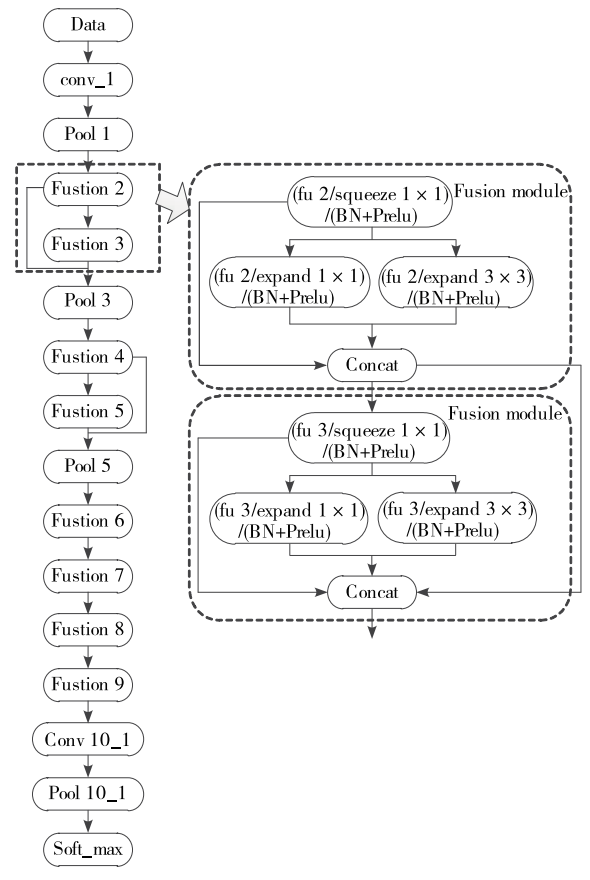


图 3 深度融合卷积神经网络结构

Figure 3 Deep fustion convolutional neural network structure

示,DBDFCNN 网络是双分支结构,第1个分支使用训练好的 SqueezeNet 网络模型对文中模型进行预训练。第2个分支通过 Fusion 模块提取枣图像的特征信息[17]。

DBDFCNN结构的设计是在卷积神经网络结构中使用迁移学习策略,利用训练好的SqueezeNet 网络模型对DBDFCNN网络模型进行预训练,提高了网络训练整体收敛速度^[18]。同时拓宽了网络结构的宽度,提高了DBD-FCNN模型的分类精度和泛化能力^[19]。

3 结果与分析

3.1 试验参数

相机:mer-503-20gcp型,北京大恒图像视觉有限公司; 镜头:m0814-mp2型,日本康标达公司;

计算机:联想启天 M435 型,联想(北京)有限公司; Halcon:德国 MVtec 公司;

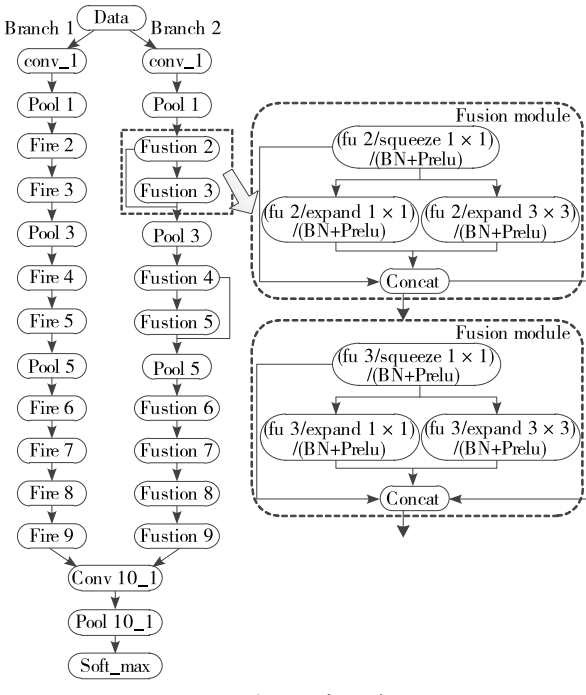


图 4 双分支深度融合卷积神经网络结构

Figure 4 Double branch deep fustion convolutional neural network structure

Visual Studio 2018:微软公司。

网络输入层红枣图像的大小统一裁剪为 227×227, 该数据集包含干条、黄皮、霉变、破头和正常枣(各2000张),分为训练集和测试集,训练集和测试集比例为1:1^[20]。最大迭代数为 10000,学习率为 0.000 1。DBD-FCNN 网络参数如表 2 所示。

对不同卷积神经网络性能对比分析,以验证 DBDFC-NN 网络模型的有效性。与传统缺陷识别方法和改进的卷积神经网络方法进行比较,验证该方法的优越性^[21]。图 5 为红枣的分类图。

3.2 试验分析

从图 6(a) 可以看出,迭代 $0\sim500$ 时 DBDFCNN 网络模型识别准确率快速上升,在 $500\sim3$ 000 时上升较为缓慢,之后准确率趋于稳定,最终稳定在 99% 以上。从图 6(b) 可以看出,迭代 $0\sim500$ 时 DBDFCNN 网络模型的损失值迅速下降,在 $500\sim3$ 000 时下降缓慢,之后趋于稳定。

使用 DBDFCNN 网络模型对红枣图像测试集数据进行识别和分类,测试集中共有 5 000 张红枣图片,分5种

表 2 参数设置

Table 2 Parameter setting

参数	Conv_1	squeezel 1×1	expand 1×1	expand 3×3	Conv_10	Pool_1/3/5
卷积核大小	3×3	1×1	1×1	3×3	1×1	3×3
步长	2	1	1	1	1	2

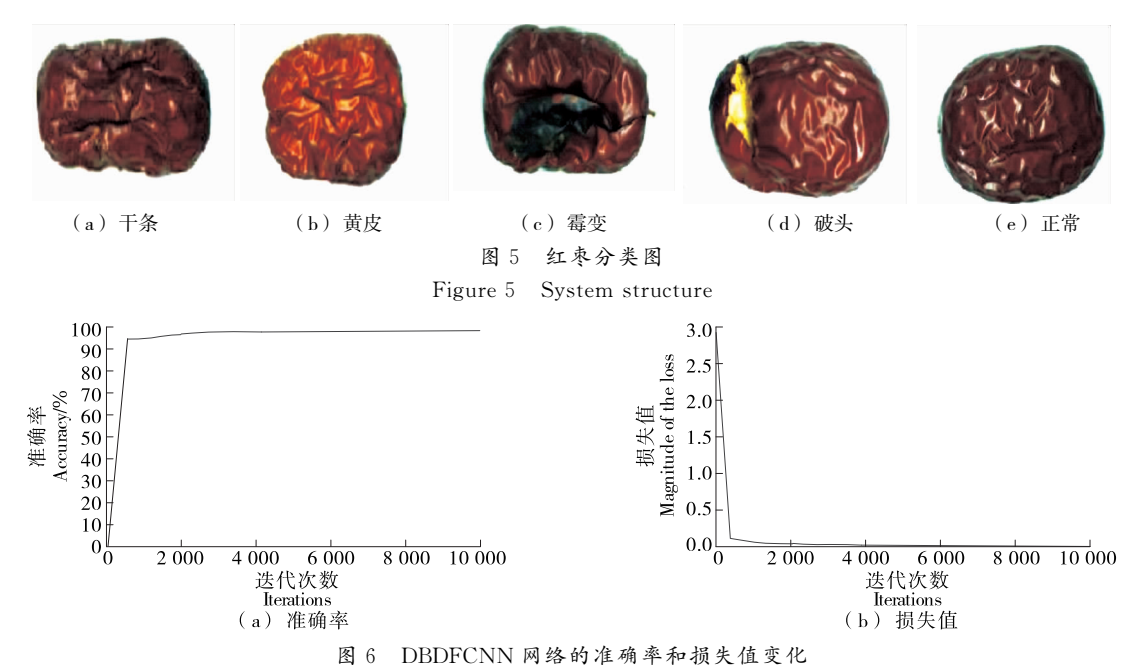


图 6 DDDFCNN 网络的准确平和颁先恒变化 Figure 6 Changes in accuracy and loss of the DBDFCNN network

类型,每种类型各1000张。表3为DBDFCNN网络模型识别结果。

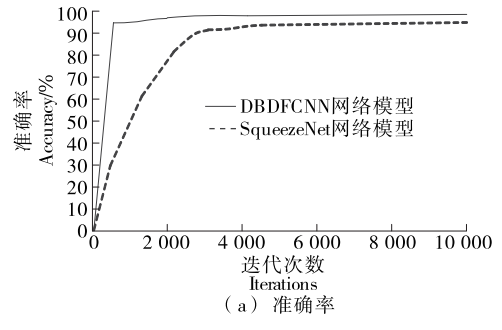
由表 3 可知, 网络模型识别准确率分别为 99.8%, 99.6%, 99.4%, 98.7%, 100.0%, 总体分类准确率为 99.5%。

为了验证 DBDFCNN 网络模型的有效性,将网络模型与 SqueezeNet 网络模型进行对比分析。迭代次数设置为 10 000,干条、黄皮、霉变、破头和正常枣各 2 000 张为

表3 识别结果

Table 3 Recognition results

数据集	识别错误数	准确率/%
干条	2	99.8
黄皮	4	99.6
霉变	6	99.4
破头	13	98.7
正常	0	100.0
总计	25	99.5



试验集进行实验验证。由图7可知,文中网络模型的分类准确率和网络学习速度都优于SqueezeNet 网络模型,而且网络收敛速度快,损失值小,网络学习速度快。

通过红枣数据集对 DBDFCNN 网络和 SqueezeNet 网络进行训练和测试,准确率分别为 96.2% 和 99.5%。每张红枣图像的平均分类和识别时间分别为 3.7,8.2 ms。

由表 4 可以看出, SqueezeNet 网络模型的分类识别时间相对较短,且其准确率较文中网络模型低了 3.43%。虽然文中网络模型增加了红枣缺陷分类所需的时间,但仍能满足红枣分类识别的工程应用。

为了验证 DBDFCNN 算法的优越性,将其与网中网卷积神经网络(Network in network -convolutional neural networks, NIN-CNN)算法^[22] 和粒子群优化的最小二乘法支持向量机(Particle swarm optimization-least squares support vector machine, PSO-LS-SVM)算法^[23] 进行比较。PSO-LS-SVM算法用于提取和识别红枣单一特征,未进行多种缺陷分类。而DBDFCNN算法和NIN-CNN

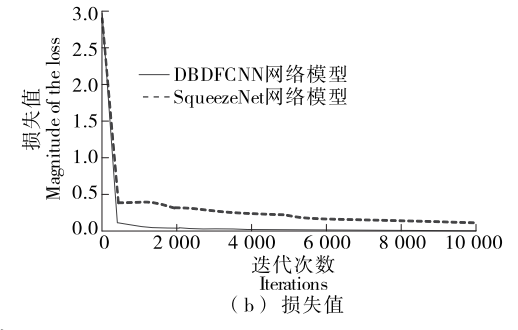


图 7 不同网络的准确率和损失值变化

Figure 7 Changes in accuracy and loss values of different networks

表 4 不同网络模型对比

Table 4 Comparison of different network models

网络模型	时间/ms	准确率/%
SqueezeNet 网络	3.7	96.2
DBDFCNN 网络	7.9	99.5

算法针对不同枣品质实现多分类,相比于传统识别方法,在识别准确率和效率上都有一定的提升。从表5可以看出,传统的红枣缺陷识别和检测方法仅关注缺陷的存在与否,不会对缺陷进行分类。卷积神经网络的出现解决了红枣缺陷的多分类问题,网络通过原始图片进行训练,无需复杂的图像预处理操作,分类识别准确率较高,DBD-FCNN 网络模型的识别准确率达到99.5%。

表 5 不同识别方法对比

Table 5 Comparison of different recognition methods

	准确率/%	识别结果
NIN-CNN ^[22]	94.91	正常和6种缺陷
$PSO\text{-}LS\text{-}SVM^{[23]}$	98.00	仅识别是否缺陷
DBDFCNN	99.50	正常和4种缺陷

4 结论

基于双分支深度融合的卷积神经网络的红枣缺陷识别方法,提高了网络学习速度和收敛速度,具有较好的分类识别效果。相比于 SqueezeNet 网络,文中提出的网络模型将红枣缺陷分类准确率提高了 3.43%,识别准确率达到 99.5%。鉴于试验设备和数据规模,文中研究仍处于起步阶段,仅进行试验分析,后期将不断提高该方法的性能。

参考文献

- [1] 姜洪权, 贺帅, 高建民, 等. 一种改进卷积神经网络模型的焊缝 缺陷识别方法[J]. 机械工程学报, 2020, 56(8): 235-242.
 - JIANG Hong-quan, HE Shuai, GAO Jian-min, et al. An improved method of welding seam defect recognition based on convolutional neural network model[J]. Chinese Journal of Mechanical Engineering, 2020, 56(8): 235-242.
- [2] 杨森, 冯全, 张建华, 等. 基于轻量卷积网络的马铃薯外部缺陷 无损分级[J]. 食品科学, 2021, 42(10): 284-289.
 - YANG Sen, FENG Quan, ZHANG Jian-hua, et al. Non-destructive classification of potato external defects based on lightweight convolutional network[J]. Food Science, 2021, 42(10): 284-289.
- [3] 张思雨, 张秋菊, 李可. 采用机器视觉与自适应卷积神经网络检测花生仁品质[J]. 农业工程学报, 2020, 36(4): 269-277.
 - ZHANG Si-yu, ZHANG Qiu-ju, LI Ke. Using machine vision and adaptive convolutional neural network to detect the quality of peanut kernels[J]. Transactions of the Chinese Society of Agricultural Engineering, 2020, 36(4): 269-277.
- [4] 海潮, 赵凤霞, 孙烁. 基于 Blob 分析的红枣表面缺陷在线检测技术[J]. 食品与机械, 2018, 34(1): 126-129.
 - HAI Chao, ZHAO Feng-xia, SUN Shuo. On-line detection technolo-

- gy of red jujube surface defects based on Blob analysis[J]. Food & Machinery, 2018, 34(1): 126-129.
- [5] 周伟, 徐颖若. 基于 PLC 和图像处理的水果分类智能控制系统[J]. 农机化研究, 2021, 12(5): 235-239.

 ZHOU Wei, XU Ying-ruo. Intelligent control system of fruit classification based on PLC and image processing[J]. Agricultural Mechanics
 - fication based on PLC and image processing[J]. Agricultural Mechanization Research, 2021, 12(5): 235-239.
- [6] 赵小霞, 李志强. 基于 PLC 和机器视觉的水果自动分级系统研究[J]. 农机化研究, 2021, 12(8): 75-79.
 - ZHAO Xiao-xia, LI Zhi-qiang. Research on automatic fruit grading system based on PLC and machine vision[J]. Agricultural Mechanization Research, 2021, 12(8): 75-79.
- [7] 李雅倩. 并联机器人夹持机构串类水果夹取控制研究[D]. 镇江: 江苏大学, 2020: 27-29.
 - LI Ya-qian. Research on the control of parallel robot clamping mechanism for serial fruit clamping[D]. Zhenjiang: Jiangsu University, 2020: 27-29.
- [8] 杨双艳, 杨紫刚, 张四伟, 等. 基于近红外光谱和 PSO-SVM 算法的烟叶自动分级方法[J]. 贵州农业科学, 2018, 46(12): 141-144. YANG Shuang-yan, YANG Zi-gang, ZHANG Si-wei, et al. Automatic tobacco grading method based on near infrared spectroscopy and PSO-SVM algorithm[J]. Guizhou Agricultural Sciences, 2018, 46(12): 141-144.
- [9] 王阳阳, 黄勋, 陈浩, 等. 基于同态滤波和改进 K-means 的苹果 分级算法研究[J]. 食品与机械, 2019, 35(12): 47-51, 112. WANG Yang-yang, HUANG Xun, CHEN Hao, et al. Apple grading
 - algorithm based on homomorphic filtering and improved K-means [J]. Food & Machinery, 2019, 35(12): 47-51, 112.
- [10] 王立扬, 张瑜, 沈群, 等. 基于改进型 LeNet-5 的苹果自动分级方法[J]. 中国农机化学报, 2020, 41(7): 105-110.
 WANG Li-yang, ZHANG Yu, SHEN Oun, et al. Automatic apple
 - WANG Li-yang, ZHANG Yu, SHEN Qun, et al. Automatic apple classification method based on improvedlenet-5[J]. Chinese Journal of Agricultural Mechanochemistry, 2020, 41(7): 105-110.
- [11] 于蒙, 李雄, 杨海潮, 等. 基于图像识别的苹果的等级分级研究[J]. 自动化与仪表, 2019, 34(7): 39-43.
 - YU Meng, LI Xiong, YANG Hai-chao, et al. Apple grading based on image recognition[J]. Automation and Instrumentation, 2019, 34(7): 39-43.
- [12] 樊泽泽, 柳倩, 柴洁玮, 等. 基于颜色与果径特征的苹果树果实检测与分级[J]. 计算机工程与科学, 2020, 42(9): 1 599-1 607. FAN Ze-ze, LIU Qian, CHAI Jie-wei, et al. Apple fruit detection and grading based on color and fruit diameter characteristics [J]. Computer Engineering and Science, 2020, 42(9): 1 599-1 607.
- [13] 王冉冉, 刘鑫, 尹孟, 等. 面向苹果硬度检测仪的声振信号激励与采集系统设计[J]. 浙江大学学报(农业与生命科学版), 2020, 46(1): 111-118.
 - WANG Ran-ran, LIU Xin, YIN Meng, et al. Design of acoustic vibration signal excitation and acquisition system for Apple hardness tester[J]. Journal of Zhejiang University (Agriculture and Life Sciences Edition), 2020, 46(1): 111-118.

(下转第192页)

- [21] 景永帅, 张丹参, 张瑞娟, 等. 北沙参多糖复合酶提取工艺及 理化性质研究[J]. 食品与机械, 2019, 35(11): 191-197.
 - JING Yong-shuai, ZHANG Dan-shen, ZHANG Rui-juan, et al. Study on the compound enzyme extraction process of *Glehniae* Radix and its physicochemical properties[J]. Food Science, 2019, 35(11): 191-197.
- [22] 白生文, 汤超, 田惊, 等. 沙棘果渣总黄酮提取工艺及抗氧化活性分析[J]. 食品科学, 2015, 36(10): 59-64.
 - BAI Sheng-wen, TANG Chao, TIAN Jing, et al. Extraction and antioxidant activity of total flavonoids from sea buckthorn pomace[J]. Food Science, 2015, 36(10): 59-64.
- [23] 顾浩峰. 酶法辅助提取猴头菇中硒多糖工艺中复合酶用量的 优化[J]. 食品与发酵科技, 2017, 53(4): 39-44.
 - GU Hao-feng. The optimization of dosage of complex enzymes in enzyme-assisted hericium se-polysaccharides extraction [J]. Food and Fermentation Sciences & Technology, 2017, 53(4): 39-44.
- [24] 齐睿婷, 黄菊青, 高汪磊, 等. 竹茹多糖提取工艺优化及其理 化性质分析[J]. 食品工业科技, 2015, 36(16): 299-303.
 - QI Rui-ting, HUANG Ju-qing, GAO Wang-lei, et al. Extraction

- and physicochemical properties of the polysaccharides from bamboo shavings [J]. Science and Technology of Food Industry, 2015, 36(16): 299-303.
- [25] 王莹, 陈圆, 聂倩倩, 等. 复合酶法辅助提取柚子皮多糖的工艺优化[J]. 湖南农业科学, 2018(5): 86-88, 91.
 - WANG Ying, CHEN Yuan, NIE Qian-qian, et al. Optimization of polysaccharides extraction from pomelo peel by compound enzymes method[J]. Hunan Agricultural Sciences, 2018(5): 86-88, 91.
- [26] 杨蓉生, 陈炼红, 唐俊妮, 等. 复合酶法提取红雪茶粗多糖工艺优化研究[J]. 食品工业科技, 2012, 33(12): 285-288.

 YANG Rong-sheng, CHEN Lian-hong, TANG Jun-ni, et al. Optimization of polysaccharide extraction from Lethariella Cladonioides by compound enzymes method[J]. Science and Technology of Food Industry, 2012, 33(12): 285-288.
- [27] 陈艳, 姚密, 李美凤, 等. 超声波辅助复合酶法提取松茸多糖的工艺研究[J]. 中国酿造, 2017, 36(10): 139-143.

 CHEN Yan, YAO Mi, LI Mei-feng, et al. Ultrasound-assisted com-
 - CHEN Yan, YAO Mi, LI Mer-teng, et al. Ultrasound-assisted compound enzyme extraction technology of polysaccharide from Tricholoma matsutake[J]. China Brewing, 2017, 36(10): 139-143.

(上接第162页)

- [14] 刘英, 周晓林, 胡忠康, 等. 基于优化卷积神经网络的木材缺陷检测[J]. 林业工程学报, 2019, 4(1): 115-120.

 LIU Ying, ZHOU Xiao-lin, HU Zhong-kang, et al. Wood defect detection based on optimized convolutional neural network [J].

 Journal of Forestry Engineering, 2019, 4(1): 115-120.
- [15] 王泽霞, 陈革, 陈振中. 基于改进卷积神经网络的化纤丝饼表面缺陷识别[J]. 纺织学报, 2020, 41(4): 115-120. WANG Ze-xia, CHEN Ge, CHEN Zhen-zhong. Surface defect recognition of chemical fiber cake based on improved convolutional neural network [J]. Journal of Textile Research, 2020, 41(4): 115-120.
- [16] 王志中. 基于改进蚁群算法的移动机器人路径规划研究[J]. 机械设计与制造, 2018, 12(1): 242-244.
 WANG Zhi-zhong. Research on mobile robot path planning based
 - WANG Zhi-zhong. Research on mobile robot path planning based on improved ant colony algorithm [J]. Mechanical Design and Manufacturing, 2018, 12(1): 242-244.

- [20] CAETANO C E F, LIMA A B, PAULINO J O S, et al. A conductor arrangement that overcomes the effective length issue in transmission line grounding[J]. Electric Power Systems Research, 2018, 46 (5): 159-162.
- [21] JIA Zhi-wei, WANG Li-Jun, ZHANG Jin-chuan, et al. High efficiency, low power-consumption DFB quantum cascade lasers without lateral regrowth[J]. Nanoscale Research Letters, 2017, 12(1): 88-95.
- [22] 杨志锐, 郑宏, 郭中原, 等. 基于网中网卷积神经网络的红枣 缺陷检测[J]. 食品与机械, 2020, 36(2): 140-145, 181. YANG Zhi-rui, ZHENG Hong, GUO Zhong-yuan, et al. Defect detection of jujube based on convolutional neural network of net in net[J]. Food & Machinery, 2020, 36(2): 140-145, 181.
- [23] 张昱, 陈光黎. 基于最小二乘支持向量机的机器视觉识别方法[J]. 测控技术, 2011, 30(7): 97-100.

 ZHANG Yu, CHEN Guang-li. Machine vision recognition method based on least squares support vector machine [J]. Measurement and Control Technology, 2011, 30(7): 97-100.

(上接第179页)

- [18] 史鸿乐, 汪诗翔, 刘义青, 等. 亚铁改性沸石活化过氧乙酸降解水中双氯芬酸的研究[J]. 中国环境科学, 2020, 40(5): 2 116-2 123. SHI Hong-le, WANG Shi-xiang, LIU Yi-qing, et al. Enhanced degradation of diclofenac by catalytic peracetic acid using Fe²⁺ modified zeolite[J]. China Environmental Science, 2020, 40(5): 2 116-2 123.
- [19] 胡卫珍, 齐振宇, 陈晓芳, 等. 凝胶渗透色谱联用多角度激光 光散射测定铁皮石斛多糖分子量及其分布[J]. 浙江农业科学, 2020, 61(6): 1 166-1 167, 1 175.
 - HU Wei-zhen, QI Zhen-yu, CHEN Xiao-fang, et al. Determination of molecular weight and distribution of polysaccharides in Dendrobium officinale by size exclusion chromatography-multi angle

- laser light scattering[J]. Journal of Zhejiang Agricultural Sciences, 2020, 61(6): 1 166-1 167, 1 175.
- [20] PINIER M, VERDU E F, NASSER-EDDINE M, et al. Polymeric binders suppress gliadin-induced toxicity in the intestinal epithelium[J]. Gastroenterology, 2009, 136(1): 288-298.
- [21] HU Y Q, YIN S W, ZHU J H, et al. Fabrication and characterization of novel Pickering emulsions and Pickering high internal emulsions stabilized by gliadin colloidal particles[J]. Food Hydrocolloids, 2016, 61(1): 300-310.
- [22] PAANANEN A, TAPPURA K, TATHAM A S, et al. Nanomechanical force measurements of gliadin protein interactions[J]. Biopolymers: Original Research on Biomolecules, 2006, 83(6): 658-667.